

9 +

阻尼振动与受迫振动 实验报告

Somebody

October 11, 2020

1 实验目的

1. 观测阻尼振动，学习测量振动系统基本参数的方法。
2. 研究受迫振动的幅频特性和相频特性，观察共振现象。
3. 观测不同阻尼对受迫振动的影响。

2 实验原理

弹簧与摆轮组成一振动系统。设摆轮转动惯量为 J ；因转动产生的“粘滞阻尼”的力矩定义为 $\gamma \frac{d\theta}{dt}$ （其中 γ 为阻尼力矩系数）；弹簧的反抗力矩为 $-k\theta$ 。

引入如下量：

$\omega_0 = \sqrt{k/J}$ ：无阻尼时自由振动的固有角频率

$\beta = \gamma/2J$ ：无阻尼时自由振动的固有角频率

$\zeta = \beta/\omega_0 = \frac{\gamma}{2\sqrt{kJ}}$ ：阻尼比

2.1 有粘滞阻尼的阻尼振动运动方程

忽略弹簧的转动惯量，有运动方程：

$$J \frac{d^2\theta}{dt^2} + \gamma \frac{d\theta}{dt} + k\theta = 0 \quad (1)$$

小阻尼条件（ $\beta^2 - \omega^2 < 0$ ）时，（1）的解为：

$$\theta(t) = \theta_0 e^{-\beta t} \cos(\sqrt{\omega^2 - \beta^2} t + \phi_i) \quad (2)$$

因此，阻尼振动的角频率、周期分别为：

$$\omega_d = \sqrt{\omega_0^2 - \beta^2}, T_d = 2\pi / \sqrt{\omega_0^2 - \beta^2}$$

2.2 周期外力矩作用下的受迫振动

若施加一外力周期外力矩 $M \cos(\omega t)$ ，则（1）式右边的0需改为 $M \cos(\omega t)$ 。然后可解得：

$$\theta(t) = \theta_0 e^{-\beta t} \cos(\sqrt{\omega^2 - \beta^2} t + \phi_i) + \theta_m \cos(\omega t - \phi) \quad (3)$$

此解为阻尼振动与“频率同激励源频率的简谐振动”的叠加。

前者为暂态项，当 $t \rightarrow +\infty$ 时该项为0；于是最终的状态为后者，即“稳态解”：

$$\theta(t) = \theta_m \cos(\omega t - \phi) \quad (4)$$

其中，

$$\theta_m = \frac{M/J}{\sqrt{(\omega_0^2 - \omega^2)^2 + 4\beta^2\omega^2}}, \phi = \arctan \frac{2\beta\omega}{\omega_0^2 - \omega^2} \quad (5)$$

在波耳共振仪中，电机以角速度 ω 匀速旋转时，由几何关系可得，其给予弹簧的支座的偏转角的一阶近似式为：

$$\alpha(t) = \alpha_m \cos(\omega t) \quad (6)$$

其中 α_m 为摇杆的摆幅。由此得到弹簧在这种情况下总转角为 $\theta - \alpha(t) = \theta - \alpha_m \cos(\omega t)$ 。基于此仿照 (1) 有运动方程 $J \frac{d^2\theta}{dt^2} + \gamma \frac{d\theta}{dt} + k(\theta - \alpha_m \cos(\omega t)) = 0$ ，移项可化为周期外力矩作用下的运动方程：

$$J \frac{d^2\theta}{dt^2} + \gamma \frac{d\theta}{dt} + k\theta = \alpha_m \cos(\omega t) \quad (7)$$

同样可得到解 (3)，只不过其中的参数有所变化。此时，稳态解 $\theta(t) = \theta_m \cos(\omega t - \phi)$ 的相位差与 (5) 相同，振幅变为 $\theta_m = \frac{\alpha_m \omega_0^2}{\sqrt{(\omega_0^2 - \omega^2)^2 + 4\beta^2 \omega^2}}$ 。由其极大值条件 $\frac{\partial \theta_m}{\partial \omega} = 0$ 可得：当外激励满足 $\omega = \sqrt{\omega_0^2 - 2\beta^2}$ 时，系统发生共振，振幅达到最大值 $\theta_m = \frac{\alpha_m \omega_0^2}{2\beta \sqrt{\omega_0^2 - \omega^2}}$ 。

2.3 小结

综合以上理论结果有：

阻尼振动下：振幅为 $\theta_m(t) = \theta_0 e^{-\beta t}$ 。随着时间推移，通过测定一系列振幅的值 $\theta_i = \theta_0 e^{-\beta(iT_d)}$ ，由于线性关系 $\ln \theta_i = \ln \theta_0 + (-\beta T_d)i$ ，即可借助计算机拟合直线 $\ln \theta_i - i$ ，得到斜率 $b = (-\beta T_d)$ 。由 (2) 中得到的 T_d ，可知 $-\beta T_d = -\frac{2\pi}{\sqrt{\zeta^2 - 1}}$ ，进而求得 ζ 。之后再结合测定的振动周期 T_d 可计算固有角频率 $\omega_0 = \frac{2\pi}{T_d \sqrt{1 - \zeta^2}}$ 。

受迫振动下：振幅

$$\theta_m = \frac{\alpha_m}{\sqrt{(1 - (\frac{\omega}{\omega_0})^2)^2 + 4\zeta^2 (\frac{\omega}{\omega_0})^2}} \quad (8)$$

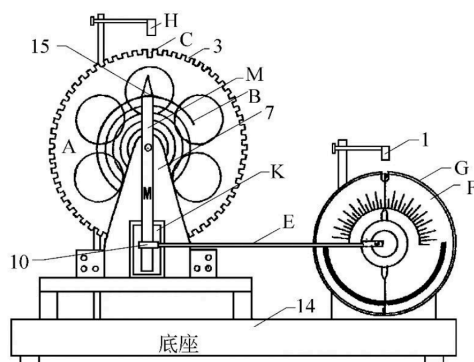
相位差

$$\phi = \arctan \frac{2\zeta (\frac{\omega}{\omega_0})}{1 - (\frac{\omega}{\omega_0})^2} \quad (9)$$

在共振时为 $\frac{\pi}{2}$ 。

3 实验仪器

本实验使用如图所示的波耳共振仪。主要部件有摆轮、弹簧、阻尼线圈、电机、有机玻璃盘等。



4 实验步骤

4.1 阻尼振动

4.1.1 最小阻尼

强迫力开关置“摆轮”。拨动摆轮至 $150^\circ - 200^\circ$ 使之摆动。

0.9987, 从而求得:

$$\zeta = \frac{1}{\sqrt{1 + (\frac{2\pi}{b})^2}} = 1.3846 \times 10^{-3}$$

$$\Delta_b = t_p(\nu)S_b = t_p(n-2)|b|\sqrt{\frac{r^{-2}-1}{n-2}} = 1.3 \times 10^{-4}$$

$$\Delta_\zeta = |\frac{d\zeta}{db}|\Delta_b = \frac{4\pi^2}{(4\pi^2 + b^2)^{\frac{3}{2}}}\Delta_b = 2.0 \times 10^{-5}$$

$$T_d = \frac{76.888s}{50} = 1.5378s$$

周期的不确定度取其 10^{-5} 倍加上其显示值末位变化“1”所对应的量值:

$$\Delta_{T_d} = \frac{T_d}{10^5} + \frac{0.001}{10} = 1.2 \times 10^{-4}$$

$$\omega_0 = \frac{2\pi}{T_d\sqrt{1-\zeta^2}} = 4.08583rad/s$$

由 $\frac{\partial \ln \omega_0}{\partial T_d} = -\frac{1}{T_d}$, $\frac{\partial \ln \omega_0}{\partial \zeta} = -\frac{\zeta}{1-\zeta^2}$, 得

$$\frac{\Delta_{\omega_0}}{\omega_0} = \sqrt{(\frac{\partial \ln \omega_0}{\partial T_d})^2 \Delta_{T_d}^2 + (\frac{\partial \ln \omega_0}{\partial \zeta})^2 \Delta_\zeta^2} = \sqrt{(\frac{\Delta_{T_d}}{T_d})^2 + (\frac{\zeta \Delta_\zeta}{1-\zeta^2})^2}$$

$$\Delta_{\omega_0} = \omega_0 \sqrt{(\frac{\Delta_{T_d}}{T_d})^2 + (\frac{\zeta \Delta_\zeta}{1-\zeta^2})^2} = 3.1 \times 10^{-4} \text{ rad/s}$$

整理最后需要的数据如下:

不能这么写

$$\zeta = 1.385 \times 10^{-3} \pm 2.0 \times 10^{-5}$$

$$T_d = 1.53780 \pm 1.2 \times 10^{-4}s$$

$$\omega_0 = 4.08583 \pm 3.1 \times 10^{-4}rad/s$$

$$(1.385 \pm 0.020) \times 10^{-3}$$

同理, 进行更改

5.1.2 其它阻尼

Table 2: 阻尼为“1”下的振幅与周期

序号 <i>i</i>	1	2	3	4	5	6	7	8	9	10	11	12
$\theta_i/^\circ$	147	135	124	114	105	97	89	82	75	69	63	58
$\ln \theta_i/^\circ$	4.990	4.905	4.820	4.736	4.654	4.575	4.489	4.407	4.317	4.234	4.143	4.060
T_{d_i}	1.534	1.536	1.538	1.54	1.541	1.544	1.545	1.546	1.548	1.548	1.549	1.549

借助Excel拟合得到 $\ln \theta_i - i$ 直线的表达式 $y = bx + a$, $b = -0.0843$, $a = 5.0757$, $r^2 = 0.9999$, $r = 0.9999$, 从而求得:

$$\zeta = \frac{1}{\sqrt{1 + (\frac{2\pi}{b})^2}} = 0.013416$$

$$\Delta_b = t_p(\nu)S_b = t_p(n-2)|b|\sqrt{\frac{r^{-2}-1}{n-2}} = 5.9 \times 10^{-4}$$

$$\Delta_{\zeta} = \left| \frac{d\zeta}{db} \right| \Delta_b = \frac{4\pi^2}{(4\pi^2 + b^2)^{\frac{3}{2}}} \Delta_b = 9.5 \times 10^{-5}$$

$$T_d = \frac{18.518s}{12} = 1.5431s$$

周期的不确定度取其 10^{-5} 倍加上其显示值末位变化“1”所对应的量值:

$$\Delta_{T_d} = \frac{T_d}{10^5} + 0.001 = 0.0010$$

$$\omega_0 = \frac{2\pi}{T_d \sqrt{1 - \zeta^2}} = 4.0720$$

由 $\frac{\partial \ln \omega_0}{\partial T_d} = -\frac{1}{T_d}$, $\frac{\partial \ln \omega_0}{\partial \zeta} = -\frac{\zeta}{1 - \zeta^2}$, 得

$$\frac{\Delta_{\omega_0}}{\omega_0} = \sqrt{\left(\frac{\partial \ln \omega_0}{\partial T_d}\right)^2 \Delta_{T_d}^2 + \left(\frac{\partial \ln \omega_0}{\partial \zeta}\right)^2 \Delta_{\zeta}^2} = \sqrt{\left(\frac{\Delta_{T_d}}{T_d}\right)^2 + \left(\frac{\zeta \Delta_{\zeta}}{1 - \zeta^2}\right)^2}$$

$$\Delta_{\omega_0} = \omega_0 \sqrt{\left(\frac{\Delta_{T_d}}{T_d}\right)^2 + \left(\frac{\zeta \Delta_{\zeta}}{1 - \zeta^2}\right)^2} = 0.0027$$

最终:

$$\zeta = 1.3416 \times 10^{-2} \pm 9.5 \times 10^{-5}$$

Table 3: 阻尼为“2”下的振幅与周期

序号 <i>i</i>	1	2	3	4	5	6	7	8	9	10	11	12
$\theta_i/^\circ$	163	143	126	110	97	85	74	65	57	50	44	38
$\ln \theta_i/^\circ$	5.094	4.963	4.836	4.700	4.575	4.443	4.304	4.174	4.043	3.912	3.784	3.638
T_{d_i}	1.534	1.537	1.54	1.543	1.545	1.548	1.549	1.55	1.551	1.552	1.552	1.554

借助Excel拟合得到 $\ln \theta_i - i$ 直线的表达式 $y = bx + a$, $b = -0.0843$, $a = 5.0757$, $r^2 = 0.9999$, $r = 0.9999$, 从而求得:

$$\zeta = \frac{1}{\sqrt{1 + \left(\frac{2\pi}{b}\right)^2}} = 0.020988$$

$$\Delta_b = t_p(\nu) S_b = t_p(n-2) |b| \sqrt{\frac{r^{-2} - 1}{n-2}} = 9.3 \times 10^{-4}$$

$$\Delta_{\zeta} = \left| \frac{d\zeta}{db} \right| \Delta_b = \frac{4\pi^2}{(4\pi^2 + b^2)^{\frac{3}{2}}} \Delta_b = 1.4 \times 10^{-4}$$

$$T_d = \frac{18.555s}{12} = 1.54625s$$

周期的不确定度取其 10^{-5} 倍加上其显示值末位变化“1”所对应的量值:

$$\Delta_{T_d} = \frac{T_d}{10^5} + 0.001 = 0.0010$$

$$\omega_0 = \frac{2\pi}{T_d \sqrt{1 - \zeta^2}} = 4.0644$$

由 $\frac{\partial \ln \omega_0}{\partial T_d} = -\frac{1}{T_d}$, $\frac{\partial \ln \omega_0}{\partial \zeta} = -\frac{\zeta}{1-\zeta^2}$, 得

$$\frac{\Delta \omega_0}{\omega_0} = \sqrt{\left(\frac{\partial \ln \omega_0}{\partial T_d}\right)^2 \Delta_{T_d}^2 + \left(\frac{\partial \ln \omega_0}{\partial \zeta}\right)^2 \Delta_{\zeta}^2} = \sqrt{\left(\frac{\Delta_{T_d}}{T_d}\right)^2 + \left(\frac{\zeta \Delta_{\zeta}}{1-\zeta^2}\right)^2}$$

$$\Delta \omega_0 = \omega_0 \sqrt{\left(\frac{\Delta_{T_d}}{T_d}\right)^2 + \left(\frac{\zeta \Delta_{\zeta}}{1-\zeta^2}\right)^2} = 0.0027$$

最终:

$$\zeta = 2.099 \times 10^{-2} \pm 1.4 \times 10^{-4}$$

Table 4: 阻尼为“3”下的振幅与周期

序号 <i>i</i>	1	2	3	4	5	6	7	8	9	10	11	12
$\theta_i/^\circ$	155	132	113	96	82	70	60	51	44	37	31	26
$\ln \theta_i/^\circ$	5.043	4.883	4.727	4.564	4.407	4.248	4.094	3.932	3.784	3.611	3.434	3.258
T_{d_i}	1.533	1.537	1.542	1.545	1.548	1.551	1.552	1.554	1.555	1.557	1.547	1.554

借助Excel拟合得到 $\ln \theta_i - i$ 直线的表达式 $y = bx + a$, $b = -0.0843$, $a = 5.0757$, $r^2 = 0.9999$, $r = 0.9999$, 从而求得:

$$\zeta = \frac{1}{\sqrt{1 + \left(\frac{2\pi}{b}\right)^2}} = 0.025568$$

$$\Delta_b = t_p(\nu) S_b = t_p(n-2) |b| \sqrt{\frac{r^2-1}{n-2}} = 2.3 \times 10^{-3}$$

$$\Delta_{\zeta} = \left| \frac{d\zeta}{db} \right| \Delta_b = \frac{4\pi^2}{(4\pi^2 + b^2)^{\frac{3}{2}}} \Delta_b = 3.6 \times 10^{-4}$$

$$T_d = \frac{18.575s}{12} = 1.5479s$$

周期的不确定度取其 10^{-5} 倍加上其显示值末位变化“1”所对应的量值:

$$\Delta_{T_d} = \frac{T_d}{10^5} + 0.001 = 0.0010$$

$$\omega_0 = \frac{2\pi}{T_d \sqrt{1-\zeta^2}} = 4.0605$$

由 $\frac{\partial \ln \omega_0}{\partial T_d} = -\frac{1}{T_d}$, $\frac{\partial \ln \omega_0}{\partial \zeta} = -\frac{\zeta}{1-\zeta^2}$, 得

$$\frac{\Delta \omega_0}{\omega_0} = \sqrt{\left(\frac{\partial \ln \omega_0}{\partial T_d}\right)^2 \Delta_{T_d}^2 + \left(\frac{\partial \ln \omega_0}{\partial \zeta}\right)^2 \Delta_{\zeta}^2} = \sqrt{\left(\frac{\Delta_{T_d}}{T_d}\right)^2 + \left(\frac{\zeta \Delta_{\zeta}}{1-\zeta^2}\right)^2}$$

$$\Delta \omega_0 = \omega_0 \sqrt{\left(\frac{\Delta_{T_d}}{T_d}\right)^2 + \left(\frac{\zeta \Delta_{\zeta}}{1-\zeta^2}\right)^2} = 0.0029$$

最终:

$$\zeta = 2.557 \times 10^{-2} \pm 3.6 \times 10^{-4}$$

5.2 受迫振动

表中计算量需要用到:

$$\phi_{theory} = \arctan \frac{2\zeta(\frac{\omega}{\omega_0})}{1 - (\frac{\omega}{\omega_0})^2}$$

$$\omega/\omega_0 = \frac{2\pi}{T\omega_0}$$

Table 5: 阻尼为“1”下受迫振动的数据 $\omega_0 = 4.0722\text{rad/s}$

i	振幅 $\theta_m/^\circ$	受迫周期 T/s	ϕ_1	ϕ_2	ϕ	ω/ω_0	ϕ_{theory}	$\frac{\phi - \phi_{theory}}{\phi_{theory}}$
1	11	1.335	176.5	166.5	171.5	1.1558	174.7220	-1.84%
2	20	1.416	172	166	169	1.0897	171.1270	-1.24%
3	35	1.470	168	165	166.5	1.0496	164.5180	1.20%
4	53	1.497	162	160	161	1.0307	156.0658	3.16%
5	76	1.511	154	153	153.5	1.0211	147.3246	4.19%
6	81	1.513	153	151	152	1.0198	145.6015	4.39%
7	86	1.514	150	149	149.5	1.0191	144.6799	3.33%
8	96	1.517	147	146	146.5	1.0171	141.6460	3.43%
9	106	1.519	143	144	143.5	1.0158	139.3723	2.96%
10	147	1.524	119.5	119	119.25	1.0124	132.6352	-10.09%
11	171	1.528	109	109	109	1.0098	125.9551	-13.46%
12	174	1.531	91.5	91	91.25	1.0078	120.0787	-24.01%
13	173	1.530	97.5	97	97.25	1.0085	122.1235	-20.37%
14	174	1.533	84	85	84.5	1.0065	115.7295	-26.98%
15	153	1.545	62	63	62.5	0.9987	84.3391	-25.89%
16	142	1.551	55	55	55	0.9948	68.7964	-20.05%
17	122	1.561	44	45	44.5	0.9884	49.0794	-9.33%
18	89	1.582	30	32	31	0.9753	28.2280	9.82%
19	65	1.604	21	22	21.5	0.9619	19.0717	12.73%
20	33	1.669	11	14	12.5	0.9245	9.6877	29.03%

此法测出 $\omega_0 = 4.1040$ ，与之前结果4.0722相比相对偏差为0.78%。

Table 6: 阻尼为“2”下受迫振动的数据 $\omega_0 = 4.0644\text{rad/s}$

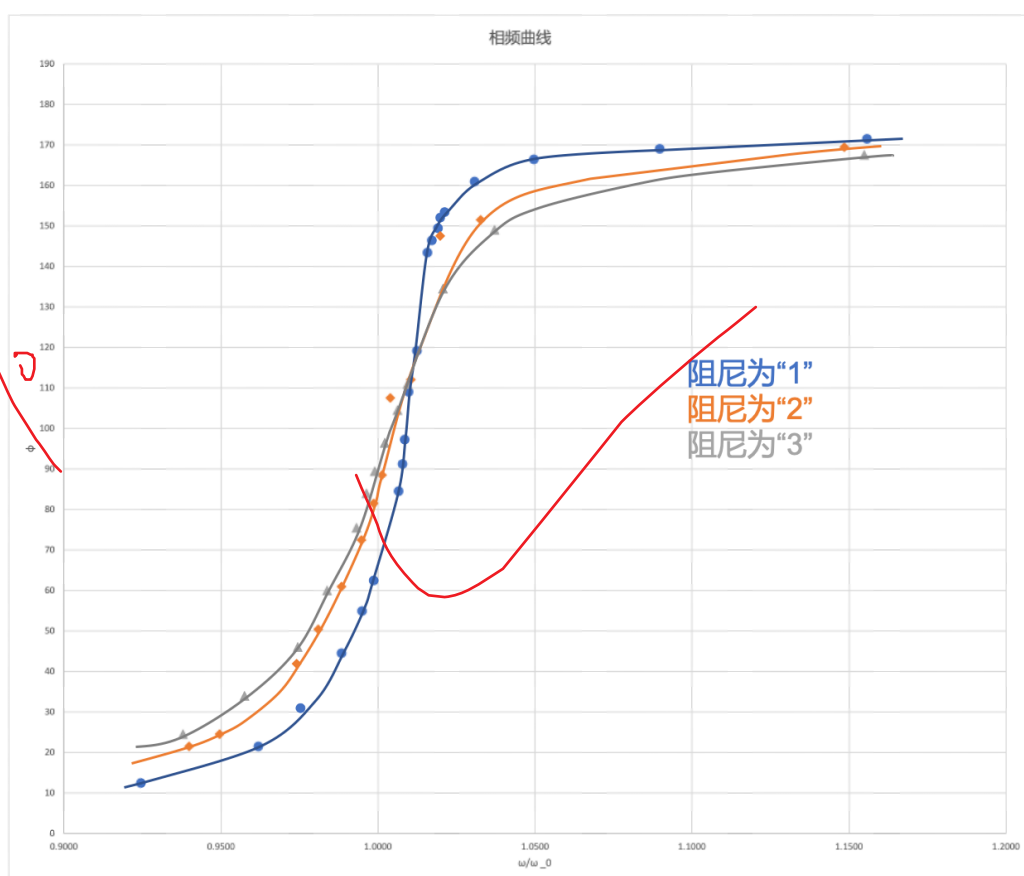
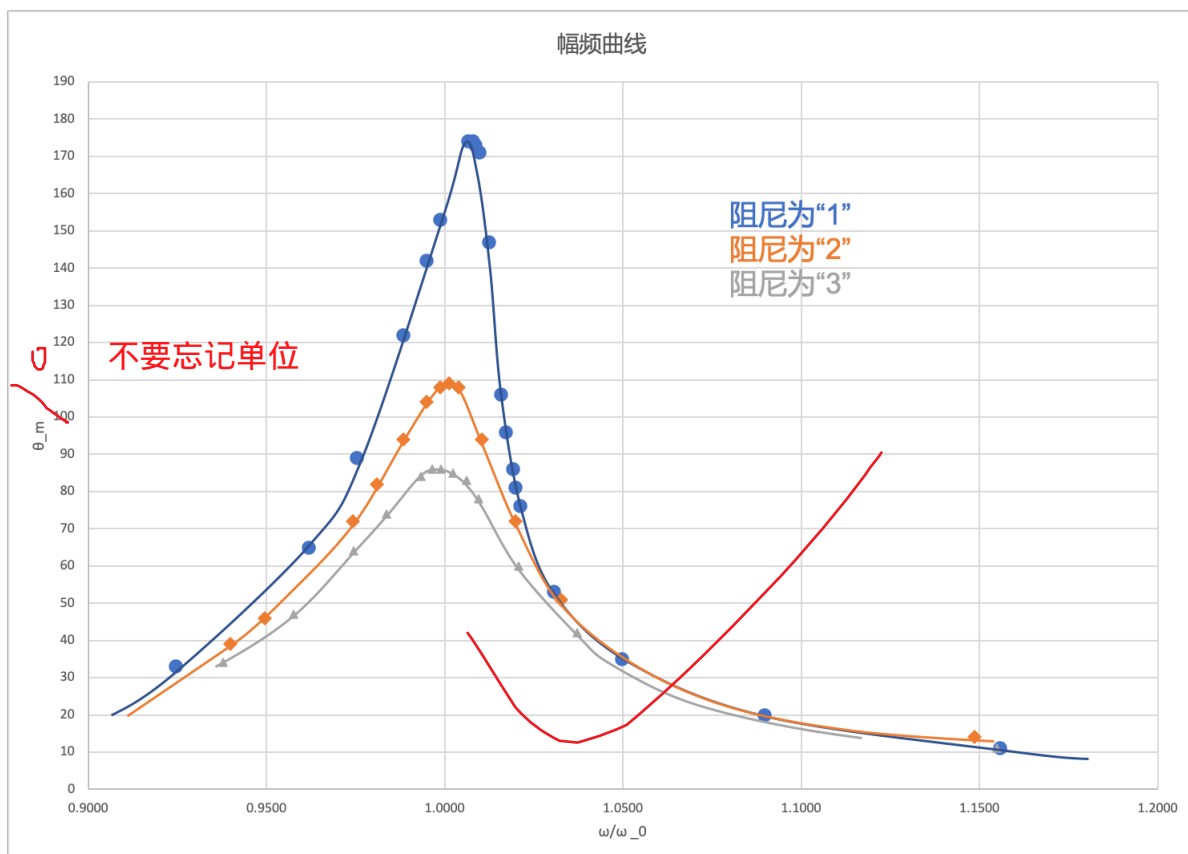
i	振幅 $\theta_m/^\circ$	受迫周期 T/s	ϕ_1	ϕ_2	ϕ	ω/ω_0	ϕ_{theory}	$\frac{\phi - \phi_{theory}}{\phi_{theory}}$
1	14	1.346	165	174	169.5	1.1485	171.4077	-1.11%
2	51	1.497	150	153	151.5	1.0327	146.8631	3.16%
3	72	1.516	147	148	147.5	1.0197	132.9465	10.95%
4	94	1.530	111.5	112.5	112	1.0104	116.2330	-3.64%
5	108	1.540	107	108	107.5	1.0038	100.3370	7.14%
6	109	1.544	88	89	88.5	1.0012	93.3659	-5.21%
7	108	1.548	81	82	81.5	0.9986	86.3123	-5.58%
8	104	1.554	72	73	72.5	0.9948	76.0310	-4.64%
9	94	1.564	60	62	61	0.9884	60.9979	0.00%
10	82	1.576	50	51	50.5	0.9809	47.4311	6.47%
11	72	1.587	41	43	42	0.9741	38.6598	8.64%
12	46	1.628	23	26	24.5	0.9496	22.0721	11.00%
13	39	1.645	20	23	21.5	0.9398	18.6560	15.24%

此法测出 $\omega_0 = 4.0694$ ，与之前结果4.0644相比相对偏差为0.12%。

Table 7: 阻尼为“3”下受迫振动的数据 $\omega_0 = 4.0605 \text{ rad/s}$

i	振幅 $\theta_m / ^\circ$	受迫周期 T/s	ϕ_1	ϕ_2	ϕ	ω/ω_0	ϕ_{theory}	$\frac{\phi - \phi_{theory}}{\phi_{theory}}$
1	11	1.340	172	163	167.5	1.154770166	169.9581941	-1.4464%
2	42	1.492	148	150	149	1.03712602	144.9585094	2.7880%
3	60	1.516	134	135	134.5	1.020707139	128.7159132	4.4937%
4	78	1.533	110	112	111	1.009388143	110.074687	0.8406%
5	83	1.538	104	105	104.5	1.006106647	103.392538	1.0711%
6	85	1.544	96	97	96.5	1.002196906	94.90528411	1.6803%
7	86	1.549	89	90	89.5	0.998961925	87.67401245	2.0827%
8	86	1.553	84	84	84	0.996388939	81.94732503	2.5049%
9	84	1.558	75	76	75.5	0.993191285	75.04058269	0.6122%
10	74	1.573	59.5	60.5	60	0.983720294	57.30195943	4.7085%
11	64	1.588	45	47	46	0.974428226	44.62456664	3.0822%
12	47	1.616	33	35	34	0.957544568	30.5072881	11.4488%
13	34	1.650	23	26	24.5	0.937813347	21.70187272	12.8935%

此法测出 $\omega_0 = 4.0563$ ，与之前结果 4.0605 相比相对偏差为 -0.10% 。
最后可绘制出三种阻尼状态下的幅频曲线与相频曲线如下图。



6 思考题

1. 如何判断受迫振动已处于稳定状态？

由受迫振动时的运动表达式，即式 (3)： $\theta(t) = \theta_0 e^{-\beta t} \cos(\sqrt{\omega^2 - \beta^2}t + \phi_i) + \theta_m \cos(\omega t - \phi)$ ，受迫振动已处于稳定状态意味着前面的暂态项趋于0，运动可仅由稳态解 $\theta(t) = \theta_m \cos(\omega t - \phi)$ 表述。比较稳态解与 (3)，可知稳态相比非稳态的特征为振幅、周期均是稳定的而不受 t 影响。因此：

当强迫力（电机）周期与摆轮周期相等或基本一致（相差？秒以内），或振幅持续1min以上无变化时，可认为受迫振动达到稳定状态。因此在实际操作中，可以观察振幅示数是否变化，或者拨动周期显示开关，看摆轮周期与强迫力周期是否相等或很接近来判断。

2. 从幅频曲线的相对振幅比为1/2的点，也可求出 β 值。试用你作出的幅频特性曲线进行计算，把结果与练习2的结果相比较。

由受迫振动下的振幅表达式 (8)，选取阻尼为1的幅频曲线上振幅为最大振幅1/2的两个点，在横轴上读取两个 $\omega/\omega_0 = 0.976, 1.018$ ，乘上对应的 $\omega_0 = 4.072 \text{ rad/s}$ ，可得到 $\omega_1 = 3.974$ ， $\omega_2 = 4.145$ 。将两个点带入 (8) 联立求解，将 ζ 代换为 β ，得到：

$$\beta = \frac{1}{2} \sqrt{2\omega_0^2 - \omega_1^2 - \omega_2^2} = 0.215$$

用5.1.2中的数据， $\beta = \omega_0 \zeta = 0.0546$ 。

图像拟合误差、仪器误差、⁽¹⁰⁾还有误差的叠加影响等等。可以多思考一下

二者相差较大。虽然在点数还不够多的幅频曲线上取点时的误差较大，但经过微调 ω/ω_0 的读数后前者离后者仍然保持较大差距。遗憾的是对计算进行反复检查后依然如此，还没有找到原因。

3. 实验中如何判断达到共振？共振频率是多少？

由2.3中的结论，共振时相位差 $\phi = \frac{\pi}{2}$ 。因此在实验中当观察到相位差为 90° ，即闪光灯亮时有机玻璃盘上的读数为 90° 时，可认为系统达到了共振。当然，在现实操作中，在共振点附近调节时系统状态变化较大，很难刚好调出相位差为 90° ，因此可以在共振点附近多测几个点，画出相频曲线，最后在曲线上寻找相位差为 90° 对应的 ω/ω_0 ，从而求出共振频率。

共振频率与固有频率近似相等，为 $\frac{1}{T}$ ， T 为各条件下 $\phi = \frac{\pi}{2}$ 时的受迫周期。

代入数据计算均约为 0.65 Hz 。

共振的时候实际上只能说接近 90° ，因为根据频率公式，实际上是在小于 ω_0 处幅度最大，从而共振。只是在弱阻尼的状态下，会非常接近 ω_0

7 实验小结与其它问题

本次实验中，关于直线 ($y = bx + a$) 拟合后求直线斜率的标准差 (S_b) 的问题 (5.1.1) 困扰了我。这个问题的求解本人看到了三种计算方法。

一是用逐差法中的量计算：

$$S_b = \sqrt{\frac{\sum (D_i - \bar{D})^2}{25 - 1}} = 0.0113$$

二是用逐差法中的量计算：

这个也是二乘法的数据的标准差计算，请问数据用的是50个吗？

$$S_b = \frac{S_y}{\sqrt{\sum (x_i - \bar{x})^2}} = 0.00123$$

(S_y 可用Excel中的STDEVP函数求。)

三是用参考文献[1] 中的式子，也是课程讲义中给过的式子计算：

这说明用直线拟合的标准差更小，求出来的 b 更为精准。

$$S_b = b \sqrt{\frac{r^{-2} - 1}{n - 2}} = -0.000126$$

(标准差应该是非负数，因此这里的式子至少应该给可能是负数的斜率 b 加上绝对值。) 三种方法计算得到的结果均不相等，但由于本人统计学知识所限最后也没有找出原因。

你线性回归用了几个数据？25个还是50个？
25个的标准差要大于50个的。

很仔细，具体的系级需要再跟老师和助教们沟通。非常谢谢你

References

- [1] 钱钟泰. 用相关系数表示线性回归系数的标准差. 计量学报, (01):71–72, 1993.

原始数据

Table 1: 最小阻尼下的振幅与周期

序号 <i>i</i>	1	2	3	4	5	6	7	8	9	10	11	12	13
$\theta_i/^\circ$	159	158	157	155	154	153	152	151	149	148	147	146	145
$\theta_{i+25}/^\circ$	130	129	128	127	126	124	122	122	120	119	118	117	116
$\ln\theta_i/^\circ$													
$\ln\theta_{i+25}/^\circ$													
序号 <i>i</i>	14	15	16	17	18	19	20	21	22	23	24	25	
$\theta_i/^\circ$	143	142	141	141	140	138	138	136	135	134	132	132	
$\theta_{i+25}/^\circ$	115	114	113	112	111	110	109	108	108	106	106	104	
$\ln\theta_i/^\circ$													
$\ln\theta_{i+25}/^\circ$													

<i>i</i>	1-10	11-20	21-30	31-40	41-50
$10T_d/s$	15.333	15.356	15.379	15.400	15.420

3.2.1 其它阻尼

Table 2: 阻尼为“1”下的振幅与周期

序号 <i>i</i>	1	2	3	4	5	6	7	8	9	10	11	12
$\theta_i/^\circ$	147	135	124	114	105	97	89	82	75	69	63	58
$\ln\theta_i/^\circ$												

<i>i</i>	1	2	3	4	5	6	7	8	9	10	11	12
T_d/s	1.534	1.536	1.538	1.540	1.541	1.544	1.545	1.546	1.548	1.548	1.549	1.549

阻尼为“3”下的振幅与周期

序号 <i>i</i>	1	2	3	4	5	6	7	8	9	10	11	12
T_d/s	1.533	1.537	1.542	1.545	1.548	1.551	1.552	1.554	1.555	1.557	1.547	1.554
$\theta_i/^\circ$	155	132	113	96	82	70	60	51	44	37	31	26

Table 3: 阻尼为“2”下的振幅与周期

序号 <i>i</i>	1	2	3	4	5	6	7	8	9	10	11	12
$\theta_i/^\circ$	163	143	126	110	97	85	74	65	57	50	44	38
$\ln\theta_i/^\circ$												✓
<i>i</i>	1	2	3	4	5	6	7	8	9	10	11	12
$T_{d,i}/s$	1.334	1.337	1.340	1.343	1.345	1.348	1.349	1.350	1.351	1.352	1.352	1.354

Table 4: 阻尼为“2”下受迫振动的数据 $\omega_0 =$

<i>i</i>	振幅 $\theta_m/^\circ$	受迫周期 T/s	相位差 ϕ	ω/ω_0	ϕ_{theory}	$\frac{\phi - \phi_{theory}}{\phi_{theory}}$
1	11	1.335				
2	20	1.416				
3	35	1.470				
4	53	1.497				
5	76	1.511				
6	81	1.513				
7	86	1.514				
8	96	1.517				
9	106	1.519				
10	147	1.524				
11	171	1.528				
12	174	1.531 ✓				
13	173	1.530				
14	174	1.533				
15	153	1.545				
16	142	1.551				
17	122	1.561				
18	89	1.582				
19	65	1.604				
20	33	1.669				

ϕ_1	ϕ_2
176.5	166.5
172	166
168	165
162	160
154	153
153	151
150	149
147	146
143	144
119.5	119
109	109
91.5	91.5 ✓
97.5	97
84	85
62	63
55	55
44	45
30	32
21	22
11	14

误差: 1.09

此法测出 $\omega_0 = ?$ ，与之前结果?相比相对偏差为?。

Table 5: 阻尼为“22”下受迫振动的数据 $\omega_0 = ?$

i	振幅 $\theta_m/^\circ$	受迫周期 T/s	相位差 ϕ	ω/ω_0	ϕ_{theory}	$\frac{\phi - \phi_{theory}}{\phi_{theory}}$
1	14	1.346				
2	51	1.497				
3	72	1.516				
4	94	1.530				
5	108	1.540				
6	109	1.544				
7	108	1.548				
8	104	1.554				
9	94	1.564				
10	82	1.576				
11	72	1.587				
12	46	1.628				
13	39	1.645				
14						
15						
16						
17						
18						
19						
20						

φ_1
 165
 150
 147
 111.5
 107
 88
 81
 72
 60
 50
 41
 23
 20

 φ_2
 174
 153
 148
 112.5
 108
 89
 82
 73
 62
 51
 43
 26
 23

此法测出 $\omega_0 = ?$ ，与之前结果?相比相对偏差为?。

宋
10.9

$\omega_0 = ?$ 时:

Table 6 阻尼为“3”下受迫振动的数据

i	振幅 $\theta_m / ^\circ$	受迫周期 T/s	相位差 ϕ	ω/ω_0	ϕ_{theory}	$\frac{\phi - \phi_{theory}}{\phi_{theory}}$
1	11	1.340				
2	42	1.492				
3	60	1.516				
4	78	1.533				
5	83	1.538				
6	85	1.544				
7	86	1.549				
8	86	1.553				
9	84	1.558				
10	74	1.573				
11	64	1.588				
12	47	1.616				
13	34	1.650				
14						
15						
16						
17						
18						
19						
20						

ϕ_1
 172
 148
 134
 110
 104
 96
 89
 84
 75
 59.5
 45
 33
 23

ϕ_2
 163
 150
 135
 112
 105
 97
 90
 84
 76
 60.5
 47
 35
 26

此法测出 $\omega_0 = ?$, 与之前结果?相比相对偏差为?。

宋
109